

广东南雄上古新统狸类化石

丁素因 童永生

(中国科学院古脊椎动物与古人类研究所)

提 要

在这篇文章中记述了在广东浓山组中发现的三种狸类 (*Anagalida*) 化石, 同时描述了一块江西池江组中发现的假古狸类 (*pseudictopid*) 左上颌。这里还认为安徽潜山盆地发现的两块标本 V4307 和 V4318 是一种新的假古狸类。

根据下颌吻区和犬齿形态的差异, 将假古狸类分为两个进化分支, 狸兽类 (*Anagalidae*) 也可分为臼齿釉质层进入与不进入齿槽两个类型。这些分异在早中古新世已出现, 因此, 假古狸类和狸兽类两者的分化则要追溯到更早一些时候。据已知材料, 认为假古狸类的四肢比例和形态更接近于某些原始啮齿类。

本文记述了广东南雄上古新统的狸类化石, 其中包括狸兽科淮阳狸属一新种, 假古狸科一个新属的两个种; 化石是中国科学院古脊椎动物与古人类研究所华南红层队赣粤分队 1973 年冬在广东南雄盆地采到的。文中, 对假古狸科已知各属的关系及某些骨骼特征进行了讨论。

一、化石记述

狸兽科 *Anagalidae* Simpson, 1931

平齿似淮阳狸 *cf. Huaiyangale leura* sp. nov.

(图版 I-1, 2)

标本 两段分别具 P_4-M_2 (V5180) 及 M_2-M_3 (V5180.1) 的不完整右下颌。

地点和层位 南雄大塘圩北西约一公里 (73138. c); 浓山组大塘圩段, 上古新统。

特征 个体稍大, 颊齿单面高冠较显著, 下臼齿外壁较平坦, M_1-M_2 长大于宽, 跟座较窄短, M_3 下次沟浅。

描述与比较 两块标本中, 除 M_1 完整外, 其他牙齿保存较差。

P_4-M_3 釉质层不深入齿槽, 下臼齿下次沟浅, 外壁较平坦, 跟座比三角座窄。 P_4 有下次尖及下内尖。 M_1-M_2 长方形, 长大于宽, M_1 更窄长。 M_3 呈三角形。

标本 V5180、V5180.1 下颌水平枝, 下颊齿形态, 以及颊齿釉质层不深入齿槽等特点与淮阳狸 (*Huaiyangale*)、窄狸 (*Stenanagale*) 均较相似。但下颌及下颊齿比 *Stenanagale xiangensis* 粗壮得多, 据此, 并考虑到 *Stenanagale* 的材料过于破碎, 难以详细对比, 因此将 V5180、V5180.1 标本暂归入 *Huaiyangale* 属。南雄标本以下列特点区别于属型种

(*H. chianshanensis*): 个体较大, 颊齿外侧齿冠更高些, M_{1-2} 相对较窄, 跟座较窄短, 下臼齿外壁较平坦。

在我们看来, 目前清楚地可归入猛犸科的有六属。这六个属从早一中古新世开始就存在着颊齿釉质层深入齿槽与未深入齿槽两种类型, 属于前一类型的有: 岭南猛犸 (*Linnania*, 早一中古新世)、宣南猛犸 (*Hsiuannania*, 晚古新世—早始新世?)、猛犸形兽 (*Anagalopsis*, ? 渐新世); 属于后一类型的有: 窄猛犸 (*Stenanagale*, 早一中古新世)、淮阳猛犸 (*Huaiyangale*, 早、中—晚古新世)、猛犸兽 (*Anagale* 渐新世)。

颊齿釉质层深入齿槽的三个属, 从早期的 *Linnania* 到晚期的 *Anagalopsis*, 个体逐渐增大, 齿冠增高, 上臼齿内侧和下臼齿外侧釉质层深入齿槽程度增加, P_{1-2} 退化。另一类型三个属的 P_{1-2} 一般不大退化, P_4 臼齿化程度相对较低, 后期下次沟加深。

除上述六属以外, *Khashanagale* 和 *Wanogale*、*Diacronus*、*Anaptogale*、*Chianshania* 等属曾被归入猛犸科。其中, 邱占祥、李传夔 (1977) 已指出 *Khashanagale* 的真正性质尚不十分肯定。其余四属的性质如原作者所指出的那样, 与猛犸科典型种属“差异都很大”, 其分类位置还需进一步确定。

假古猫科 *Pseudictopidae* Sulimski, 1968

殊跳猫(新属, 新种) *Haltictops mirabilis* gen. et sp. nov.

(图版 I-3, 4, 5, 6, 7)

正型标本 一不完整的右下颌, 具 P_4-M_3 (V5181)。

副型标本 一段具 M_{1-2} 的左下颌 (幼年个体, V5181.1)、具 M^{2-3} 的右上颌 (幼年个体, V5181.2)、零星牙齿: 左 P_{1-2} (幼年个体, V5181.3) 和一些破碎肢骨 (V5181.4)。

地点和层位 南雄大塘圩北西约一公里 (73138.c); 浓山组大塘圩段, 上古新统。

特征 上臼齿横宽, 具外齿带, 舌侧高冠, M^3 后尖发育, 前附尖弱, 后齿带舌侧增强形成次尖架。下臼齿三角座与跟座高差悬殊; M_1 三角座比 M_2 的长, M_{1-2} 具下内小尖和强的下内尖嵴; M_3 下跟座窄长, 下次小尖十分发育。 P_{3-4} 下原尖外壁尖锐, 下跟座长。

描述 上颊齿 M^{2-3} 舌侧高冠较显著。 M^2 具不明显的前附尖, 后附尖尖锐, 后齿带舌侧增强形成次尖架, 外齿带发育, 仅在牙齿中部中断。 M^3 比 M^2 小, 形态相似, 但后尖比前尖略低, 较前尖更靠舌侧, 无后附尖, 前齿带窄。

下颌水平枝下缘平直, 垂直枝高耸。 P_{1-2} 薄片状; P_1 前半部破损, 在主尖后面有两个小突起; P_2 主尖前面有一较高的小尖, 后面比 P_1 的伸长, 无前齿带和下跟脊。 P_4 三角座较长, 下前脊低、短、弱, 下前尖位置较靠外, 下原脊高, 后壁陡, 下内尖明显, 位置靠后, 斜脊强。 M_1 三角座较长, 下前脊十分发育, 但比下原脊低弱, 下原脊后壁陡; 下原尖外壁尖锐, 下后尖比下原尖稍高, 下前尖比下原尖略低; 跟座窄长而低, 下次尖粗壮, 斜脊发育, 下次尖后稜短, 与下次小尖外稜斜交。下内尖之前有下内小尖。前齿带弱。 M_2 与 M_1 相似, 但三角座略短, 下前尖极弱。 M_3 三角座更短, 跟座低而窄长, 下次尖舌位, 下次小尖高大, 下内尖低, 靠近下次小尖。

比较和讨论 标本 V5181 下颌吻部未保存。它的颊齿形态如上臼齿横宽, 次尖架发育, 下臼齿三角座、跟座高差悬殊, 下三角座不对称等特征与 *Pseudictops* 相近。但后者的

P_{1-2} 稍小, P_{3-4} 臼齿化程度高, 下臼齿下前尖弱, 跟座短, M^{2-3} 十分横宽, 无外齿带, 次尖架稍弱, M^3 后尖退化等特征可和南雄种相区别。南雄标本的下颌外形, P_4 臼齿化程度和下三角座呈短的 V 形等与 *Paranictops* 相似, 但后者 P_4-M_3 的下原尖外壁圆钝, 下跟座短, 无明显的下内小尖和下内尖前稜, 下前尖较发育等特征不同于南雄种。南雄种的 M_3 下跟座窄长, 下次小尖强, 可以与 *Paranictops* 及这一科的其他属区别。

Anictops 和 *Allictops* 的上臼齿较长, 三角凹窄, 次尖架相对较弱, 前附尖清楚, *Anictops* 下臼齿的下前尖发育, 下三角凹较对称等特征和南雄种显著不同。

安徽潜山盆地望虎墩组下段的 *Paranictops* sp. (V4307) (邱占祥, 1977), 其颊齿形态与南雄种相似, 特别是 P_{3-4} 的形态与下面将要记述的 *Haltictops meilingensis* 十分相似。另外, 产于同一层的另一标本 V4318 (邱占祥、李传夔, 1977) 在形态上与 *Haltictops mirabilis* 的尚未完全萌出的下臼齿标本 (V5181.1) 十分相似。考虑到标本 V4307 和 V4318 产自同一层位, 相距仅两公里, 有可能同属一种动物。虽然这种动物在牙齿形态上与 *Haltictops* 相近, 仍有明显的区别: 个体较大; 下犬齿粗壮, 无次级小尖; P_{1-2} 大, P_{3-4} 臼齿化程度较低; 下臼齿齿冠低, 三角座长, 下前脊和下原脊夹角大, 下前尖发育, 较靠舌面, 下次尖前位, 下内小尖低矮。根据这些特征也可将其与假古猫科已知属相区别, 因此, 我们将产自望虎墩组下段的这两块标本定一新属种: 犬齿强假猫 *Carictops canina* gen. et sp. nov.

1976 年华南红层会议期间, 与会代表在江西大余县青龙公社滥泥坑北 (72035 地点) 又找到一块具完整的 P^1-M^3 的左上颌 (V5547, 图版 I-14)。其上臼齿形态与 *Haltictops* 相差较大, 可能与 1973 年在距该地点不远的 73046 点采到的一对假古猫下颌 (V5033, cf. *Pseudictops tenuis*) 代表同一种动物。标本 V5547 与属型种 *P. lophiodon* 的区别在于: 上颊齿三角凹较短宽, 上臼齿具连续的外齿带, 前附尖发育, M^{1-2} 次尖架较显著, M^3 后尖清楚, P_4 臼齿化程度介于 *Haltictops* 和 *P. lophiodon* 之间。

梅岭跳猫(新属, 新种) *Haltictops meilingensis* gen. et sp. nov.

(图版 I-12)

标本 一段具 P_3-M_3 的左下颌 (V5182)。

地点和层位 南雄大塘圩西 (73059.c); 浓山组大塘圩段, 上古新统。

特征 个体较属型种 (*H. mirabilis*) 大; P_{3-4} 增大特别明显, P_4 臼齿化程度较高; M_{1-2} 无下内小尖, 下内尖后位。

描述 下颌水平支在 P_3 之前变浅。 P_1 仅留一根, P_2 双根; P_3 扁长, 下前脊有两个小突起, 三角座长宽, 跟座短窄, 下原尖与下后尖近于等高, 下次尖发育, 下内尖弱。 P_4 三角座与跟座近于等长, 下原脊高, 后壁陡, 下前脊低弱, 下次尖明显, 斜脊发育, 下内尖较 P_3 清楚, 下跟凹不封闭。 M_{1-2} 相似, 三角座与跟座近于等长, 下后脊后壁陡峻, 下后尖高于下原尖, 下原尖外壁尖锐, 下前脊低弱, 三角凹不对称; 跟凹浅, 下内小尖很不明显, 下内尖后位, 具下次小尖外稜。 M_1 三角座比 M_2 的稍长, 下前尖较 M_3 舌位。

比较: 梅岭种的下臼齿形态与 *H. mirabilis* 相似, 区别在于前者牙齿较粗壮, 下臼齿下前尖较弱, M_{1-2} 下内小尖不明显, 下内尖后位。

二、假古猯科某些问题的讨论

1. 假古猯科目前计有六属八种, 它们分布于亚洲古—始新统的不同层位中。从近年来不断增加的材料可以看出, 假古猯科从早中古新世起即存在着两个进化分支。以 *Anictops* 为代表的第一分支包括 *Anictops* (安徽望虎墩组上部, 早中古新世) 和 *Allictops* (安徽痘母组, 晚古新世); 以 *Cartictops* 为代表的第二分支包括 *Cartictops* (安徽望虎墩组下部, 早中古新世)、*Paranictops* (安徽望虎墩组上部, 早中古新世)、*Haltictops* (广东浓山组, 晚古新世)、cf. *Paedictops* (江西池江组, 晚古新世)、*Pseudictops* (内蒙脑木根组、新疆台子村组、蒙古人民共和国格沙头组和乌兰布拉克组, 早始新世—晚古新世)。两个分支的主要区别在于下颌吻区的不同(图 1), 以及与此相关的颊齿与颅后骨骼的一些差异:

第一分支

- (1) 下门齿较小, 排列紧密;
下犬齿小, 侧扁, 门齿化;
- (3) 前臼齿臼齿化程度相对较高;
- (4) 下颌联合较长而平缓;
- (5) 上颊齿较长, 咀嚼面窄长, M^1 不变小;

第二分支

- 下门齿较大, 排列稀疏;
- 下犬齿锥状, 大而粗壮(晚期属有次级小尖);
- 前臼齿臼齿化程度相对较低;
- 下颌联合相对较短而陡直;
- 上颊齿较短, 咀嚼面短宽, M^1 在晚期属中变小;

第一分支, 从早期的 *Anictops* 到晚期的 *Allictops* 所代表的进化趋向为: 个体由小到

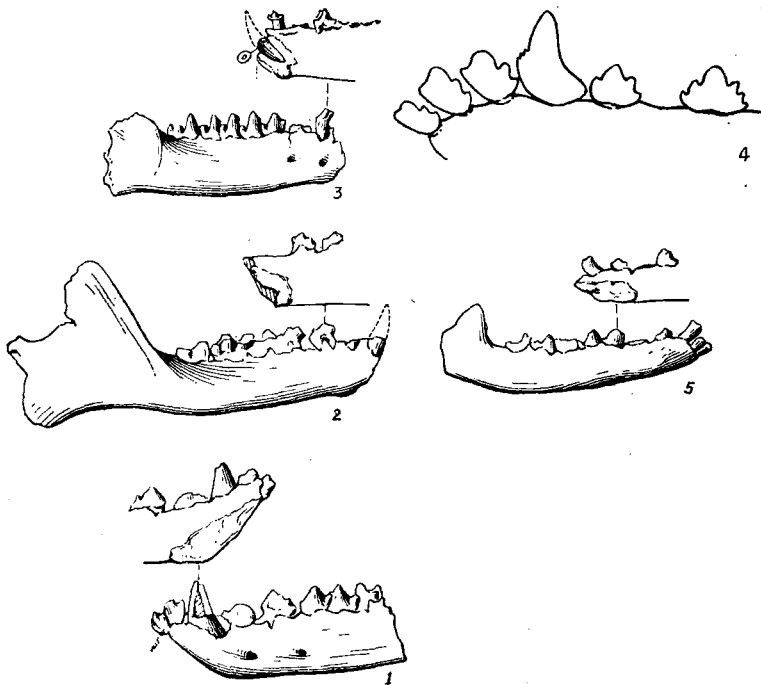


图 1 假古猯下颌对比图

- (1) *Cartictops canina* 左下颌; (2) *Paranictops majuscula* 右下颌;
- (3) *Pseudictops lophiodon* 右下颌; (4) *Pseudictops lophiodon* (依 A. Sulimski, 1968, 113 页, 图 3)
- (5) *Anictops tabiepedis* 右下颌, $\times 2/3$ 。

大、颊齿齿尖(特别是下颊齿)由锥形变为脊形、齿冠逐渐增高、单面高冠现象逐渐显著、前臼齿臼齿化程度逐渐增高、 M^3 后尖逐渐退化。在第二分支中, *Carictops* 颊齿结构最原始, 它与同一盆地层位较高的 *Paranictops* 的颊齿(特别是 P_{3-4}) 结构以及下颌骨形态区别比较明显; 而它的 P_{3-4} 及下臼齿结构却与 *Haltictops meilingensis* 十分相似, 可能为 *C. canina* 幼年个体的 V4318 号标本与 *Haltictops mirabilis* 幼年个体的臼齿结构也非常相似, 看来, 这两属的关系可能比较接近。 *Haltictops* P_{3-4} 的跟座比 *Paranictops* 发育些, 下臼齿下原尖外壁比后者尖锐。 *Haltictops* 与 *Pseudictops* 的颊齿基本结构比较接近, 只是后者的上颊齿变短, 下颊齿三角座较短, P_{3-4} 臼齿化程度高。

目前, 我们虽不能肯定 *Carictops*、*Haltictops*、*Pseudictops* 就是这一分支进化主干上的类型, 但这三属的关系可能是比较接近的。从早期的 *Carictops* 到晚期的 *Pseudictops*, 体型变化不大, P_{1-2} 逐渐变小, P_{3-4} (尤其是 P_4) 臼齿化程度逐渐增高, 下臼齿三角座缩短, 下前尖退化, 下原尖外壁变尖锐, 齿冠增高(特别是三角座高度增加明显, 与跟座高差十分悬殊), 上臼齿逐渐变短, M^3 后尖退化。

2. 假古猿类的颅后骨骼, 在两个分支中基本上是相似的¹⁾, 但 *Anictops* 与 *Haltictops* 的股骨有下列区别: 前者, 股骨小转子位置较高, 紧靠股骨头, 第三转子位置也较高, 位于骨体上部, 大转子与股骨头平; 后者, 股骨小转子位置较低, 与股骨头有一段距离, 第三转子位于骨体中部, 大转子高于股骨头。

关于假古猿类的颅后骨骼及生态特征, 前人曾有过一些阐述与讨论 (Sulimski, A. 1968; Szalay, F. S. and M. C. McKenna, 1971; M. C. McKenna, 1975; 邱占祥, 1977) 多数学者认为假古猿类的颅后骨骼与兔形类的相似。从现有材料可以看出, 假古猿类的头骨及颅后骨骼具有古老而原始的性质; 但另一些特征(如: 四肢修长, 前肢短于后肢, 后肢中胫骨比股骨长的多), 还表明了它在古老类型中特化为善于跳跃的适应, 这一点可能也是过去许多古生物学者认为它与兔类相似的主要原因。但是, 我们将它与几种适应跳跃的动物相比, 则可看到, 假古猿类颅后骨骼与其说象兔形类, 倒不如说近似于松鼠类。

例如: 假古猿类前后肢的比例, 以及前后肢各段的比例, 除与兔形类相近外, 与古老的松鼠类甚至现代树栖的 *Sciurus* 等等都是相近的(表 1)。

其次, 假古猿类肱骨远端(图 2)形态, 有内上髁孔; 尺骨(插图 3)鹰咀突粗壮, 钩突发育, 附着三头肌长头肌腱的沟位于肘突顶端外侧; 挠骨(图 3)近端关节面为平凹的鞍状面; 盆骨(图 4)髂骨翼窄长, 臀肌面被脊状的臀(肌)线分成上下两面; 股骨(图 5)小转子距头较远, 第三转子位于骨体中部(或中上部); 胫腓骨完全分离, 以及跗骨(图 6)的形状、排列位置²⁾等, 均与松鼠类相似, 而与兔形类不同。

1) 曾被归入 *Anictops tabiepedis* 的一块肱骨(71019, 邱占祥, 1977, 图版 I-13; 本文插图 2(4))远端结构十分特殊: 滑车呈轴状, 无内上髁孔。这种结构与许多古老哺乳类不同, 而与兔形类相似。但 *Anictops* 挠骨近端关节面平凹, 不同于兔形类呈轴状的关节面, 与这块肱骨远端的关节面显然是不吻合的, 因此, 它是否属 *Anictops* 的肱骨还需进一步证实。如果确属 *Anictops* 的, 那么它与 *Haltictops* 肱骨的区别就十分明显了。

2) 标本 V4306 第二跗骨处有上下排列的两块骨头(插图 6(2))(下面一块趾面有一结节), 这可能是个体变异现象。如果正常的 *Paranictops* 第二跗骨是上面那一块的话, 那么下面那块与第二趾骨愈合则与松鼠类第二跗、趾骨关节情况是完全相同的。

表 1 牙齿测量表(毫米)

	<i>Huaiyangale leura</i>		<i>Haltictops mirabilis</i>				<i>Haltictops meilingensis</i>	<i>cf. Pseudictops tenuis</i>
	V5180	V5180.1	V5181	V5181.1	V5181.2	V5181.3	V5182	V5547
P ³ 长/宽								5.2/6.2
P ⁴								5.0/7.0
M ¹								4.8/7.2
M ²					4.8/6.2			5.1/7.3
M ³					4.9/5.8			5.3/7.0
P ₁						/1.5		
P ₂						5.4/2.1		
P ₃							6.1/3.4	
P ₄	3.4/		4.4/3.1				5.1/4.2	
M ₁	3.5/2.6		4.2/3.2	4.3/3.5			5.0/4.0	
M ₂	3.6/3.2	3.6/	4.4/3.6	4.5/3.9			4.7/4.1	
M ₃		4.6/	5.5/3.7					



图 2 假古狸与其他类型肱骨对比图

- (1) *Haltictops mirabilis* 左肱骨远端×3/4;
- (2) *Sciurotamias davidianus* 左肱骨远端×3/4;
- (3) *Paramys delicatus* 右肱骨远端(依 A. E. Wood, 1962, 25 页, 图 6, c)×1/2,
- (4) ?*Anictops tabiepedis* 左肱骨远端×3/4;
- (5) *Lepus manchuricus* 左肱骨远端×3/4;

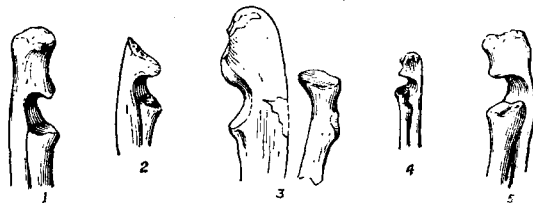


图 3 假古狸与其他类型尺桡骨对比图

- (1) *Paranictops majuscula* 右尺桡骨;
- (2) *Anictops tabiepedis* 右尺桡骨;
- (3) *Manitsha* 右尺桡骨(依 A. E. Wood, 1962, 223 页, 图 82, D. E.);
- (4) *Sciurotamias davidianus* 右尺桡骨;
- (5) *Lepus manchuricus* 左尺桡骨。×3/4。

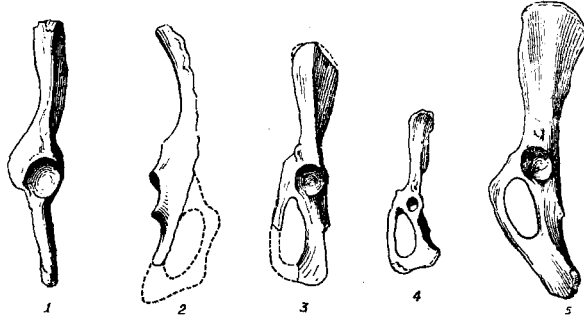


图4 假古狨与其他类型盆骨对比图

- (1) *Halictops mirabilis* 左盆骨;
- (2) *Anictops tabiepedis* 左盆骨;
- (3) *Reithroparamys delicatissimus* 左盆骨(依 A. E. Wood, 1962, 127 页, 图 43, G);
- (4) *Sciurotamias davidianus* 左盆骨;
- (5) *Lepus manchuricus* 左盆骨。×1/2。

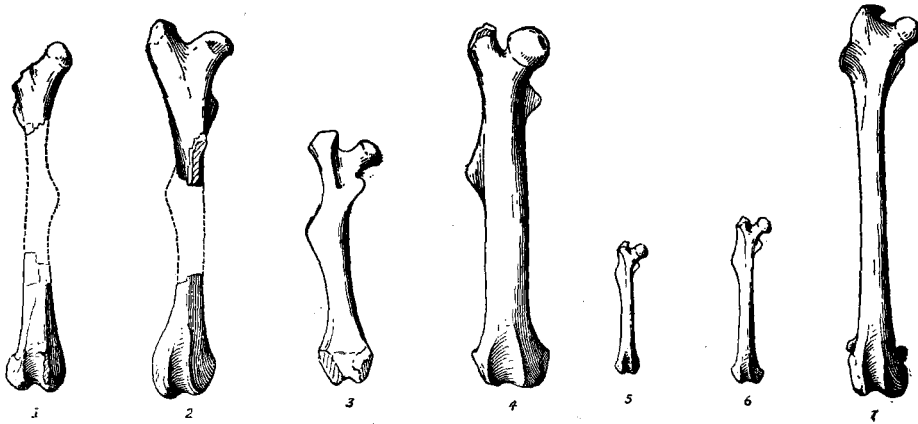


图5 假古狨与其他类型股骨对比图

- (1) *Paranictops majuscula* 左股骨近端、右股骨远端;
- (2) *Halictops mirabilis* 右股骨;
- (3) *Anictops tabiepedis* 左股骨;
- (4) *Paramys delicatus* 右股骨(依 A. E. Wood, 1962, 26 页, 图 7, A);
- (5) *Citellus undulatus* 右股骨;
- (6) *Sciurotamias davidianus* 右股骨;
- (7) *Lepus manchuricus* 右股骨; ×1/2。

假古狨类的跟骨具有腓骨关节面, 兔形类亦有这一关节面。萨莱与德克尔研究白垩纪真兽类和古新世灵长类的蹠骨时曾指出, 在距骨与跟骨上腓骨关节面存在, 对于真兽类(Eutheria) 和其他哺乳类来说, 无疑是原始的特征 (Szalay and Decker, 1974)。看来假古狨类、兔形类与其他真兽类(如踝节类、食肉类等等)保持了这些原始特征。

假古狨类的脚趾, Sulimski (1968) 描述的 *Pseudictops* 是五趾。邱占祥 (1977) 描述的 *Paranictops* 后脚为四趾。我们观察了邱所述标本后, 发现在第一跖骨蹠面下方有一三角形面 M_{1a} (图 6(2)), 第二蹠骨近端内侧有一斜面 M_{1b} (图 6(2)), 这两个面应是与第一

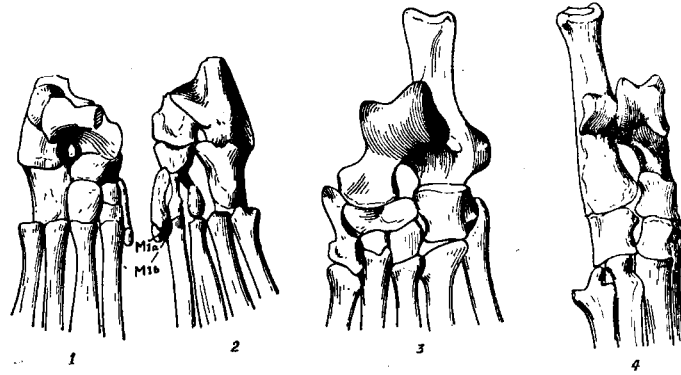


图6 假古狷与其他类型附骨对比图

- (1) *Paramictops majuscula* 右后脚背面；
 (2) *Paramictops majuscula* 右后脚蹠面；
 (3) *Paramys delicatus* 左后脚(依 A. E. Wood, 1962, 26 页, 图 7, F)；
 (4) *Lepus manchuricus* 右后脚。×1。

表2 假古狷类四肢比例与其他类型的对比

	$\frac{H+R}{F+T} \times 100$	$\frac{T}{F} \times 100$	$\frac{R}{T} \times 100$	$\frac{H}{F} \times 100$
<i>Anictops tabiepedis</i> **	57	108	48.8	68.7
<i>Paramys delicatus</i> *	68.4	98.7	57.9	76
<i>Reithroparamys delicatissimus</i> *	57	102.8	61.6	59.4
<i>Franimys amherstensis</i> *		106.7		
<i>Pseudotomus robustus</i> *	61.3	104.2	54.4	68.4
<i>Ischyretomus oweni</i> *	62.8	102.6	56.4	69.3
<i>Sciurus</i> *	68.5	114.6	62.7	74.8—104.9
<i>Marmota</i> *	74.5	96.4	69.5	80.1—86.8
<i>Lepus</i>	71	118	65.2	77.8
<i>Rhynchocyon claudi</i> ***	62.4	122.9	56.6	69.6
<i>Petrodromus tordayi</i> ***	75	128.3	78.3	70.7

* 依 A. E. Wood, 1962, 28 页, 表 1。

** 肱骨长度依标本 71019, 桡骨依标本 V4297, 数据不准确, 供参考。

*** 依 F. G. Evens, 1942。

跖骨的关节面;此外,标本 V4306 第二跖骨近端结构简单,与通常最侧面的跖骨近端有结节状突起不同,我们认为 *Paramictops* 的后脚很可能为五趾,第五与第一趾大小相近。

三、小 结

1. 猿类在早一中古新世时,不仅是种类相当繁多,数量十分丰富的一个类群,而且各科自身已经有着十分明显的分化。假古猿科的两个进化分支,在下颌吻区及门犬齿形态上表现出明显差异,这可能是适应于略不相同的食性及运动方式的结果。

2. *Anagalidae* 和 *Pseudictopidae* 自身分异在古新世较早期已十分明显。这两科的分化则要追溯到更早一些时候。最晚也应在晚白垩世早期出现

3. 假古猿类的四肢比例、形态特征与某些原始啮齿类十分相似。

(1978年1月5日收稿)

参 考 文 献

- 邱占祥, 1977: 安徽潜山古新统假古猿化石。古生物学报 16 (1)。
 邱占祥, 李传夔, 1977: 安徽潜山几种古新世哺乳类动物化石。古脊椎动物与古人类 15 (2)。
 徐钦琦, 1976: 安徽古新世猿兽科的新属、种(上、下)。古脊椎动物与古人类 14 (3,4)。
 Bohlin, B., 1951: Some mammalian remains from Shih-eh-r-ma-ch' eng, Hui-hui-p'u area, Western Kansu. *Sino-Swed. Exp. Publ.*, 35.
 Evens, F. G., 1942: The osteology and relationships of the Elephant Shrews (*Macroscelididae*). *Bull. Amer. Mus. Nat. Hist.*, 80(4).
 McKenna, M. C., 1975: Toward a phylogenetic classification of the mammalia. In phylogeny of the Primates, ed. W. P. Luckett and F. S. Szalay. Plenum.
 Matthew, W. D., W. Granger and G. G. Simpson, 1929: Additions to the fauna of the Gashato Formation of Mongolia. *Amer. Mus. Novit.*, No. 376.
 Simpson, G. G., 1931: A new insectivore from the Oligocene Ulan Gochu Horizon of Mongolia. *Amer. Mus. Novit.*, No. 505.
 Sulimski, A., 1968: Paleocene genus *Pseudictops* Matthew, Granger & Simpson, 1929 (Mammalia) and its revision. *Palaeont. Pol.*, No. 19.
 Szalay, F. S. and M. C. McKenna. 1971: Beginning of the age of mammals in Asia: The Late Paleocene Gashato Fauna, Mongolia. *Bull. A. M. N. H.*, 144(4).
 Wood, A. E., 1962: The Early Tertiary Rodents of the Family Paramyidae. *Trans. Amer. Phil. Soc.* new series, 52(1).
 Szalay, F. S. and E. L. Decker: Origins, evolution, and function of the tarsus in Late Cretaceous Eutheria and Paleocene Primates. (*Primate Locomotion*, ed. Farish A. Jenkins, Jr., Academic Press.)

图 版 说 明

- 1—2. 平齿似淮阳兽 cf. *Huayangale leura* sp. nov. 1. 具 P_1-M_2 的右下颌 (V5180); 外侧视, $\times 2$; 1a. 同上; 冠面视, $\times 2$; 2. 具 M_{2-3} 的右下颌 (V5180.1); 外侧视, $\times 2$; 2a. 同上; 冠面视, $\times 2$;
 3—11. 殊跳猿 *Haltictops mirabilis* gen. et sp. nov. 3. 具 P_4-M_3 的右下颌 (V5181); 外侧视, $\times 1$; 3a. 同上; 冠面视, $\times 1$; 4. 4a. 一段具 M_{1-2} 的左下颌 (V5181.1); 冠面视, 立体照片, $\times 2$; 5. 5a. 具 M_{2-3} 的右上颌 (V5181.2); 冠面视, 立体照片, $\times 2$; 6. 左 P_{1-2} (V5181.3); 内侧视, $\times 2$; 6a. 同上; 外侧视, $\times 2$; 7. 左肱骨远端 (V5181.4); 前面视, $\times 1$; 8. 左盆骨 (V5181.4); 外侧视, $\times 1$; 9. 右股骨近端 (V5181.4); 前面视, $\times 1$; 10. 右股骨远端 (V5181.4); 前面视, $\times 1$; 11. 腰椎 (V5181.4); 腹面视, $\times 1$;
 12. 12a. 梅岭跳猿 *Haltictops meilingensis* gen. et sp. nov. 具 P_3-M_3 的左下颌 (V5182); 冠面视, 立体照片, $\times 1$; 13. 大别非猿 *Anictops tabiepedis* Chiu 1977 左肱骨(采自 71019 地点); 前面视, $\times 1$. 14. 细巧似假古猿 cf. *Pseudictops tenuis* Chang et Ting 1978 具 P^3-M^3 的左上颌 (V5547); 冠面视, $\times 1$.

